

西日本工業大学 正員 安原一哉
西日本工業大学 正員 ○平尾和年

1. まえがき

地震時のように動的な外力をうけるときの土の強度を有効応力で規定しようとする場合、正確な周隙水圧の測定が必須の条件である。しかし、動的荷重下の高塑性の沖積粘土では、測定上難しい問題が多い。一方、これを全応力で議論すると、周隙水圧の測定にはそれほど神経質になる必要はない。しかし、このときも動的強度の定義は明らかでなく、ひずみで規定するにしても何時のせん断応力をとって動的強度にあるかについては意見が分かれているように見える。

本文では、上記のこと考慮して有効応力を基準としてまず練返し沖積飽和粘土の三軸的練返し圧縮試験結果をひずみをパラメータとして全応力の立場から再整理した結果を報告する。

2. 実験概要

実験の概要是既報に詳しく述べられている。ここで紹介するデータは主として、練返し後再成形した粘土供試体 ($\omega_c = 115\%$, $I_p = 58$, $G_s = 2.65$) をK₀圧密させた後ある周波数 (0.1および1.0 Hz) の練返し荷重 (片振り) を非排水条件のもとで、一定回数 (600回と3600回) 段階的に負荷するものである。これをARUと表示する。また、実験を模式化すると図-1のようになる。有効応力にもとづいた考慮の結果、得られた算出結果は以下の通りである。

- 1) 動的強度は静的強度よりも若干小さくなる。
- 2) 動的強度には周波数の影響はほとんどみられない。
- 3) 等方圧密された供試体の動的強度は、等方圧密されたものより大きい傾向がある。

また、比較のために同じ試験条件で静的な応力制御の非排水せん断試験 (ASUと表示) を行ってこれと動的強度との比較に重きを置いた。なお、等方圧密からの試験を止められIRU・ISUと表す。

3. 動的強度特性

まず、動的せん断・静的せん断試験における典型的な応力-ひずみ曲線を図-2に示している。これらをもとにして、それを軸ひずみに相当するせん断応力 τ_d と τ_s の関係をひずみをパラメーターとして、例えば図-3が得られる。

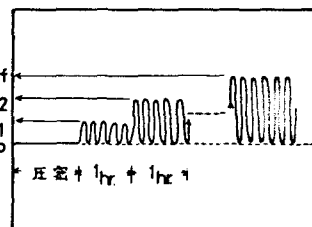


図-1 実験方法の模式図

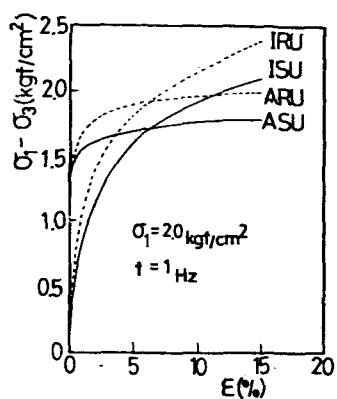


図-2 応力-ひずみ曲線

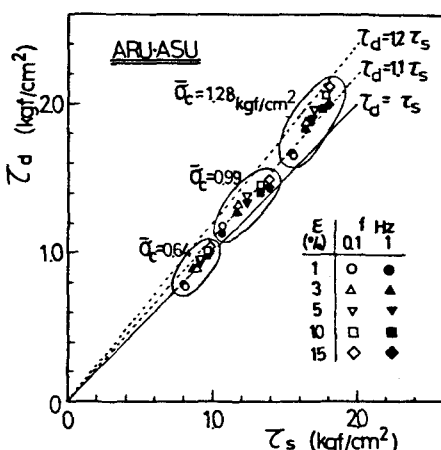


図-3 動的・静的強度の比較

これをみると、1) 動的強度は静的強度の1~2割ほど大きくなる。2) ただし、拘束圧の大きいものほど動的強度が大きくなる傾向がみられる。そこで、これらの τ_d , τ_s を拘束圧 $\bar{\sigma}_c = \frac{1}{3}(\sigma_1 + 2\sigma_3)$ で除して $\tau_d/\bar{\sigma}_c$ と $\tau_s/\bar{\sigma}_c$ の関係に整理し直してみると、図-4のようにややばらついているが、拘束圧の高いものについて

$$\frac{\tau_d}{\bar{\sigma}_c} = \frac{\tau_s}{\bar{\sigma}_c} + \alpha \quad \dots \dots \dots (1)$$

のように表わされることがわかる。これによれば

$$\tau_d = \tau_s + \alpha \bar{\sigma}_c \quad \dots \dots \dots (2)$$

となって、動的強度は静的強度より、 $\alpha \bar{\sigma}_c$ だけ大きくなる。

図-5はやはりひずみをパラメーターとして、 $\dot{\gamma} = 0.1$ および 1.0 Hz の動的強度を比較したものである。周波数の小さいものが大きいものより動的強度 τ_d がやや大きいようであるが、その差は高々 5% ~ 10% 程度である。

さて、通常静的三軸試験に限らず、動的三軸試験も試験の便宜からせん断応力負荷に先立つ先行圧密は等方圧密によることがある。本文では異方圧密供試体の試験結果を中心に議論しているので、これを等方圧密供試体の結果と比較してみよう。

図-6は二つの条件での動的強度を拘束圧 $\bar{\sigma}_c$ によて正規化した値を比較したものである。一方、図-7は異方圧密の場合、動的応力負荷に帯びた τ_d なる先行せん断応力を $\tau'_d = \tau_d - \tau_{d0}$ で正規化してプロットし直したものである。これらから、図-6では等方圧密粘土の動的強度に対する異方圧密粘土の動的強度はかなり大きくなっている。この点に対して、図-7では逆

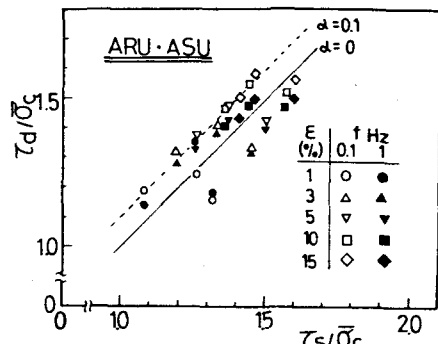


図-4 動的・静的強度の比較

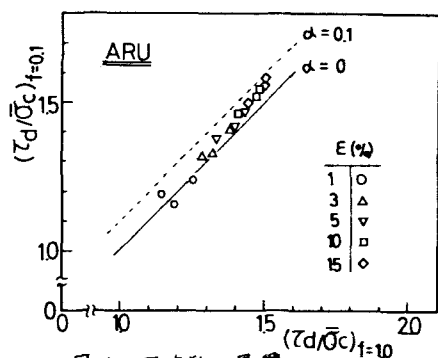


図-5 周波数の影響

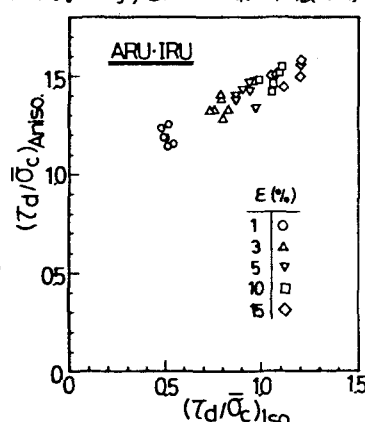


図-6 先行圧密方式による動的強度の比較

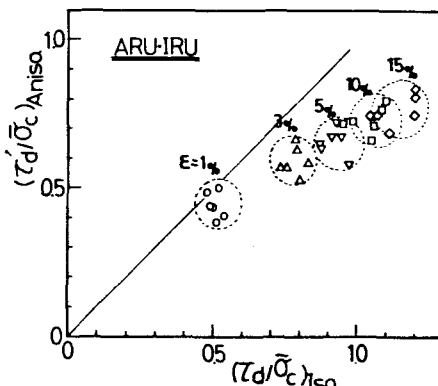


図-7 先行圧密方式による動的強度の比較
($\tau'_d = \tau_d - \tau_{d0}$ の場合)

の傾向を示してある。異方圧密粘土の動的強度の定義により実験結果の解釈が、全く異なることからこの辺の話になければ、動的強度に対する認識は依然として今ままでのまま取り残してしまうことになる。

4. あとがき 捷速し荷重をうける正規圧密飽和粘土の非排水強度を応力の立場から検討して以下のような結論が得られた。
1) 異方圧密粘土の動的強度は、拘束圧の高い範囲に限れば静的強度の約2倍となる。
2) 異方圧密粘土の動的強度は、周波数の小さいものが大きいものより若干大きくなる。

引用文献 1) 安原・平尾(1978): 飽和粘土の動的強度・変形特性、第15回自然災害シンポジウム、pp. 121~124. 2) 安原・平尾(1979): 捷速し荷重をうける異方圧密粘土の挙動、第14回工質工学発表会講演集、pp. 633~636.